

## МАСШТАБНОЕ МОДЕЛИРОВАНИЕ ГАЗОВЫХ ВЗРЫВОВ В ЗАКРЫТЫХ СОСУДАХ

УДК 536.46

Н. А. Какуткина, А. А. Коржавин, В. С. Бабкин,  
В. В. Замащиков, А. А. Плеслов

Институт химической кинетики и горения СО РАН, 630090 Новосибирск

*Проведены исследования влияния геометрических размеров на горение газовых смесей в закрытых сосудах с препятствиями. Показана возможность раздельного учета эффектов ускорения горения за счет взаимодействия пламени с препятствиями и за счет автотурбулизации пламени. Обнаружено, что степень ускорения горения за счет автотурбулизации является универсальной функцией объема сосуда и физико-химических характеристик газовой смеси и контролируется числами Фруда и Льюиса. Показана возможность масштабного моделирования взаимодействия пламени с препятствиями.*

Проблема прогнозирования динамики аварийного газового взрыва внутри производственного помещения или технологического оборудования имеет ряд специфических особенностей. Во-первых, это многообразие конкретных условий. Форма и размеры помещения, конфигурация внутреннего оборудования и его размещение, как правило, сложны и нестандартны. Состав горючей среды, ее реакционная способность, термодинамическое и гидродинамическое состояния могут изменяться в широких пределах. Нередки случаи участия во взрыве многофазных сред, сред в дисперсном состоянии. Далее, в процессе взрыва возможна реализация одного или нескольких последовательных явлений горения — ламинарного и турбулентного распространений пламени, самовоспламенения, детонации и т. д. Сжимаемость газов создает благоприятные условия для перехода одного режима горения в другой, для генерации барических волн, концентрации химической энергии в локальных объемах и, как следствие, для развития аномально высоких давлений.

Эти особенности обусловливают поиск различных путей моделирования внутренних неконтролируемых взрывов и, в частности, масштабного моделирования. Следует назвать три основных подхода: математическое, физическое и полуэмпирическое моделирования. Математическое моделирование предполагает решение нестационарных уравнений Навье — Стокса и введение ряда упрощающих предположений, в том числе относительно структуры течения и метода учета химических реакций. Подход весьма перспективен, но его адекватность не всегда очевидна [1, 2]. Физическое моделирование предполагает проведение натурного эксперимента и дает наиболее реалистичную информацию. Однако, оно требует больших затрат и проводится только в наиболее ответственных случаях (авиация, атомная энергетика и т. д.) [3]. Полуэмпирический подход базируется на теоретических и экспериментальных сведениях о внутреннем газовом взрыве. Основное его преимущество — сочетание теории и эксперимента, обеспечивающее последовательное развитие подхода, его эффективность. Иллюстрацией такого подхода может служить моделирование вентилируемых взрывов [4], нашедшее широкое распространение в практике [5].

В настоящей работе предпринята попытка полуэмпирического моделирования газового взрыва в закрытых сосудах с препятствиями в наиболее простой постановке: сферические сосуды; препятствия, вызывающие относительно слабое возмущение процесса; смеси относительно низкой реакционной способности.

## ТЕОРЕТИЧЕСКИЕ ОСНОВАНИЯ МАСШТАБНОГО МОДЕЛИРОВАНИЯ

Теория внутреннего взрыва гомогенной смеси достаточно хорошо развита для пламен с простыми законами изменения поверхности [6]. Реальный взрыв в сосуде с препятствиями сопровождается генерацией турбулентности, струйных и вихревых течений при взаимодействии движущихся газов с препятствиями, а также под действием сил тяжести. Чем интенсивнее турбулентность или чем более развита поверхность пламени, тем выше интегральная скорость тепловыделения. К ускоренному сгоранию смеси могут приводить также гидродинамическая и диффузионно-тепловая неустойчивости пламени. В этой связи учет турбулентности (степени деформации пламени) приобретает первостепенное значение.

Задача о распространении турбулентных и деформированных пламен рассмотрена в [7], где показано, что основные динамические характеристики процесса могут быть определены на основе уравнений для ламинарных симметричных пламен. Для этого необходимы сведения о нормальной турбулентной скорости  $S_{u,t}$  или площади поверхности деформированных пламен. Эти параметры могут быть взяты из литературы или определены экспериментально в специальных опытах. При обосновании этого вывода в [7] использован принцип Гуи — Михельсона  $S_{u,t}F = S_u F_t$ , где  $S_{u,t}$  — нормальная турбулентная скорость, определяемая на контрольной поверхности  $F$ ;  $F_t$  — площадь поверхности турбулентного пламени;  $S_u$  — нормальная скорость ламинарного пламени.

Отношение  $\chi = S_{u,t}/S_u = F_t/F$  имеет смысл относительной турбулентной скорости сгорания или степени деформации поверхности пламени. Эта величина, впервые появившаяся, по-видимому, в работе [8] как корректирующий параметр в задаче о разгерметизации сосудов, в настоящее время часто используется в литературе [9, 10].

Идентичность уравнений динамики ламинарных и турбулентных пламен, являющаяся следствием независимости термодинамических и кинетических уравнений, позволила построить комплексы подобия для физического моделирования ламинарных и турбулентных пламен [11]. В частности, показано, что характеристики реального и модельного взрывов при одинаковых значениях  $\pi$ ,  $\pi_e$ ,  $\gamma_u$  и  $\gamma_b$  связаны соотношением

$$\left( \frac{d\pi}{dt} \right)_r = \frac{(S_{u,t})_r}{(S_u)_m} \frac{R_m}{R_r} \left( \frac{d\pi}{dt} \right)_m, \quad (1)$$

где  $\pi = P/P_i$ ,  $\pi_e = P_e/P_i$  ( $P$ ,  $P_i$ ,  $P_e$  — текущее, начальное и конечное давления взрыва);  $R$  — радиус сосуда;  $\gamma_u$  и  $\gamma_b$  — показатели адиабаты для свежей смеси и продуктов горения; индекс  $r$  относится к реальному взрыву, индекс  $m$  — к модельному.

В задаче масштабного моделирования уравнение (1) можно переписать так:

$$\pi'_r = \pi'_m \chi, \quad (2)$$

где  $\pi' = d\pi/dt$ ,  $\tau = tS_u/R$ . Величина  $\chi$  характеризует степень увеличения скорости горения в реальном сосуде с препятствиями по отношению к скорости ламинарного горения в модельном пустом сосуде.

Таблица 1  
Характеристики препятствий

| Тип препятствия | $D/2R$ | $h/2R$ | $d/2R$ | $\chi_2$              |                    |
|-----------------|--------|--------|--------|-----------------------|--------------------|
|                 |        |        |        | Центральное зажигание | Смещение зажигания |
| A               | 0,67   | 0,056  | 0      | 1,51                  | 1,32               |
| B               | 0,34   | 0,34   | 0      | 1,06                  | —                  |
| C               | 0,34   | 0,34   | 0,03   | 1,08                  | 0,95               |

Разделив обе части (2) на  $\pi'_{re}$ , получим:

$$\chi = \frac{\pi'_r}{\pi'_{re}} \frac{\pi'_{re}}{\pi'_m} = \frac{\pi'_{ro}}{\pi'_{re}} \frac{\pi'_{re}}{\pi'_{me}} = \chi_2 \chi_1. \quad (3)$$

Здесь индекс  $o$  обозначает сосуд с препятствием, а  $e$  — пустой; параметр  $\chi_2 = \pi'_{ro}/\pi'_{re}$  характеризует действие препятствий, а  $\chi_1 = \pi'_{re}/\pi'_{me}$  учитывает роль факторов, ускоряющих горение в отсутствие препятствий. Соотношение (3) позволяет раздельно учесть ускорение процесса горения за счет неустойчивости пламени в пустых сосудах и в результате деформации пламени в сосудах с препятствиями. О масштабном моделировании процессов сгорания газа в закрытых сосудах с препятствиями должна свидетельствовать независимость фактора турбулизации  $\chi$  от масштаба процесса, т. е. от размера сосуда при полном геометрическом подобии формы сосудов и препятствий.

### МЕТОДИКА ЭКСПЕРИМЕНТОВ

Эксперименты проводили с гомогенными пропановоздушными смесями с содержанием пропана 3, 4 и 6 % в четырех сферических сосудах объемом  $3,2 \cdot 10^{-3}$ ; 0,01; 0,1 и  $1,14 \text{ м}^3$  при начальных давлениях 0,1; 0,3; 0,8 МПа и комнатной температуре.

В качестве препятствий использовали плоские металлические сплошные и перфорированные диски. Диски устанавливали на металлических стержнях, размещая их в сосудах симметрично относительно вертикальной оси. Длину стержней можно было варировать. Геометрические размеры препятствий для разных сосудов изменяли пропорционально диаметру сосуда. Вид и характеристики использованных препятствий приведены на рис. 1 и в табл. 1. Зажигание смеси производилось либо в центре сосуда, либо в точке, смещенной в направлении препятствий на расстояние  $R/2$  ( $R$  — радиус сосуда). Динамическое давление измерялось индуктивными и тензометрическими датчиками давления и регистрировалось либо шлейфовым осциллографом, либо измерительно-вычислительным комплексом на базе микро-ЭВМ ДВК-3. Комплекс производил обработку поступающих сигналов (сглаживание кривых давление — время, их дифференцирование) и выдачу результатов на дисплей и цифропечать.

### ВЗРЫВЫ В СОСУДАХ БЕЗ ПРЕПЯТСТВИЙ

В экспериментах определялись две величины:  $\chi_1 = \pi'_{re}/\pi'_{me}$  и  $\chi_2 = \pi'_{ro}/\pi'_{re}$ .

Для  $\chi_1$  производная  $\pi'_{re}$  определялась для пустых сосудов разных объемов. Величина

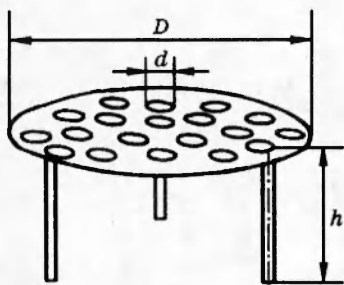


Рис. 1

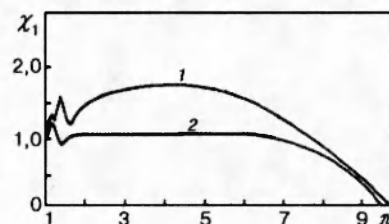


Рис. 2

Рис. 1. Схема используемых препятствий (размеры приведены в табл. 1)

Рис. 2. Типичные зависимости  $\chi_1(\pi)$ :

1 — 6 % пропана,  $P_i = 0,3 \text{ МПа}$ ,  $V = 3,2 \cdot 10^{-3} \text{ м}^3$ ; 2 — 4 % пропана,  $P_i = 0,3 \text{ МПа}$ ,  $V = 0,01 \text{ м}^3$

$\pi'_{me}$  рассчитывалась в предположении распространения сферически симметричного невозмущенного пламени [11]:

$$\frac{d\pi}{d\tau} = 3S_u \pi^{4/3} \gamma_u \left( \pi^{1/\gamma_u} - c \right)^{2/3} \left( \frac{\pi_e - \pi}{c} \right) / \left[ r \left( \pi^{1/\gamma_u} - \frac{\gamma_u - \gamma_b}{\gamma_u} c \right) \right], \quad (4)$$

$$c = (\pi_e - \pi) / \left( \pi_e - \frac{\gamma_b - 1}{\gamma_u - 1} - \frac{\gamma_u - \gamma_b}{\gamma_u - 1} n^{(\gamma_u - 1)/\gamma_u} \right), \quad S_u/S_{u_i} = \pi^\varepsilon,$$

где  $\varepsilon = (\gamma_u - 1)m/\gamma_u + n$ ;  $n$  и  $m$  — барический и температурный показатели в степенной зависимости  $S_u$  от  $P$  и  $T$  соответственно. В работе приняты следующие значения параметров:  $\gamma_u = 1,32$ ,  $\gamma_b = 1,2$ ,  $m = 2$ . Остальные параметры указаны в табл. 2 (см. также [12]). Значения  $\pi_e$  взяты из экспериментов в пустых сосудах объемом  $3,2 \cdot 10^{-3} \text{ м}^3$ .

На рис. 2 приведены характерные кривые  $\chi_1(\pi)$  для двух опытов. На этих кривых можно выделить три стадии. На первой ( $\pi < 2$ ) наблюдаются нерегулярные колебания  $\chi_1$ , которые связаны, по-видимому, с недостаточным разрешением регистрирующей аппаратуры. На второй стадии ( $2 < \pi < \pi^*$ )  $\chi_1$  или постоянно, или растет. На третьей стадии ( $\pi > \pi^* = 4 \div 9$ )  $\chi_1$  монотонно падает в результате, вероятно, сокращения поверхности пламени при касании стенок сосуда. Величина  $\pi^*$  уменьшается с уменьшением  $S_u$  и увеличением размера сосуда, т. е. с увеличением времени горения в сосуде. Эти закономерности позволяют предположить существенную роль свободной конвекции в процессе горения, приводящей к подъему очага пламени и, как следствие, к более раннему касанию стенок. По кривым  $\chi_1(\pi)$  определялись максимальные значения  $\chi_1$ , достигаемые в процессе горения, и в дальнейшем под  $\chi_1$  будет подразумеваться именно максимальное значение. Случайная ошибка определения  $\chi_1$ , оцененная многократным воспроизведением опытов, не превышала 11 %.

Хотя фактор ускорения  $\chi_1$  в исследованных диапазонах параметров невелик ( $1,0 \div 1,7$ ), тем не менее тенденции его изменения очевидны: к увеличению  $\chi_1$  приводит увеличение объема сосуда, начального давления и уменьшение нормальной скорости горения (рис. 3, 4). Одной из возможных причин увеличения  $\chi_1$  является свободная конвекция, которая приводит не только к подъему, но и к деформации очага. Эффект контролируется числом

Таблица 2

Значения параметров  $S_u$ ,  $n$ ,  $\pi_e$ , использованные в расчетах

| Пропан,<br>%    | $S_u$ ,<br>м/с | $n$   | $\pi_e$ | Пропан,<br>%    | $S_u$ ,<br>м/с | $n$   | $\pi_e$ | Пропан,<br>%    | $S_u$ ,<br>м/с | $n$   | $\pi_e$ |
|-----------------|----------------|-------|---------|-----------------|----------------|-------|---------|-----------------|----------------|-------|---------|
| $p_i = 0,1$ МПа |                |       |         | $p_i = 0,3$ МПа |                |       |         | $p_i = 0,8$ МПа |                |       |         |
| 3               | 0,222          | -0,25 | 7,85    | 3               | 0,169          | -0,25 | 8,1     | 3               | 0,132          | -0,25 | 8,4     |
| 4               | 0,4            | -0,18 | 9,1     | 4               | 0,328          | -0,18 | 9,5     | 4               | 0,275          | -0,18 | 9,7     |
| 6               | 0,151          | -0,38 | 8,9     | 6               | 0,099          | -0,38 | 9,3     |                 |                |       |         |

Фруда  $Fr = S^2/2gr$ , где  $S$  — пространственная скорость пламени,  $g$  — ускорение свободного падения,  $r$  — радиус пламени. Для проверки гипотезы о влиянии свободной конвекции на  $\chi_1$  предпринята попытка установить корреляцию между  $\chi_1$  и  $Fr$ . Значения  $S$  и  $r$ , а значит, и число  $Fr$  меняются по мере распространения пламени в закрытом сосуде. Минимальное значение  $Fr$  и, следовательно, наибольшее проявление конвективной неустойчивости должны наблюдаться в конце процесса горения при  $r = R$ . Однако за счет конвективного подъема очага горения и раннего касания стенок сосуда конвективная деформация пламени завершается раньше, чем достигается минимальное значение  $Fr$ . Поэтому для корреляции выбрано число  $Fr$ , определенное по радиусу пламени  $r = R/2$ . Значения  $S$  при  $r = R/2$  рассчитывались по уравнениям динамики взрыва газа в закрытом сосуде [6, 7]. Для расчетов использованы параметры, приведенные в табл. 2. Учитывая точность измерения значений нормальной скорости, не превышающую 4 % в интересующем нас диапазоне [12], ошибку определения  $Fr$  можно оценить величиной 9,5 %. Рис. 5 показывает наличие корреляции между  $\chi_1$  и  $Fr$ , что указывает на свободно-конвективную природу увеличения  $\chi_1$ . Согласно [13] существенная деформация поверхности пламени происходит при  $Fr < 0,11$ . Действительно, из рис. 5 видно, что существенное увеличение  $\chi_1$  происходит при приближении к этому критическому значению  $Fr$ . Свободно-конвективную природу увеличения  $\chi_1$  подтверждают также рис. 3 и 4, которые демонстрируют увеличение  $\chi_1$  при увеличении  $V$  и уменьшении  $S_u$ .

Среди других причин увеличения  $\chi_1$  можно назвать эффекты селективной диффузии, контролируемые числами Льюиса, в том числе диффузионно-тепловую неустойчивость ламинарного пламени. В соответствии с концепцией селективной диффузии [14, 15] богатые пропановоздушные смеси, способные к образованию ячеистых пламен, должны сгорать более интенсивно, чем бедные. Действительно, такая тенденция отражена на рис. 5: в 4- и 6 %-ной смесях  $\chi_1$  выше, чем в 3%-ной при одинаковых значениях  $Fr$ .

На рис. 5 также приведено значение  $\chi_1$ , вычисленное для стехиометрической метановоздушной смеси, сгорающей в сферическом сосуде объемом 25,4 м<sup>3</sup> [16]. Пламена этой смеси при начальном атмосферном давлении не образуют ячеек, и значение  $\chi_1$  хорошо укладывается на кривую  $\chi_1(Tr)$  для 3%-ной пропановоздушной смеси. То обстоятельство, что значения  $\chi_1$  для разных горючих смесей группируются вокруг двух кривых  $\chi_1(Tr)$  в зависимости от того, способна ли данная смесь к образованию ячеек, указывает на универсальность законов увеличения поверхности турбулентного пламени в закрытом сосуде.

Возбуждение вибрационных режимов горения также может сопровождаться более быстрым сгоранием смеси. Природа этого явления пока недостаточно ясна. Однако известно, что в пропановоздушных смесях вибрационные режимы возбуждаются более легко в обогащенных смесях и при повышенных давлениях [12]. В процессе наблюдается скачкообраз-

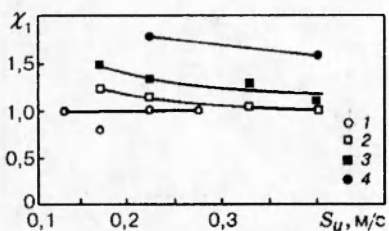


Рис. 3

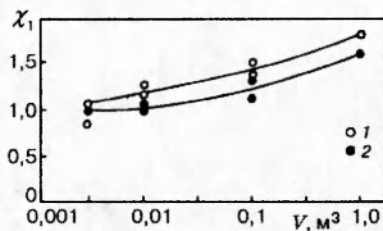


Рис. 4

Рис. 3. Зависимость  $\chi_1(S_u)$ :  
 $V, \text{м}^3$ ; 1 — 0,0032; 2 — 0,01; 3 — 0,1; 4 — 1,14

Рис. 4. Зависимость  $\chi_1(V)$ :  
1 — 4 % пропана, 2 — 3 % пропана

ный рост скорости горения и звучание сосуда. В настоящей работе «звукание» сосуда возникало только при горении в сосуде объемом 1 м<sup>3</sup>, однако скачкообразного изменения  $\chi_1$  не наблюдалось.

### ВЗРЫВЫ В СОСУДАХ С ПРЕПЯТСТВИЯМИ

При определении  $\chi_2$  обе производные  $\pi'_{ro}$  и  $\pi'_{re}$  определялись для сосудов одинакового объема, один из которых был пустым, другой — с препятствиями. Характерные кривые  $\chi_2(\pi)$  приведены на рис. 6. Здесь максимум  $\chi_2$  по сравнению с пустыми сосудами выражен более ярко и обусловлен взаимодействием пламени с препятствиями. После прохождения препятствия, как правило,  $\chi_2$  снижается, эффект взаимодействия исчезает. Такой же эффект потери «памяти» о препятствии отмечался в [17].

Характерная особенность этой серии опытов — независимость фактора турбулизации от физико-химических параметров системы и объема сосуда. Величина  $\chi_2$  зависит только от типа препятствия. На рис. 7, 8 приведены данные, подтверждающие этот вывод.

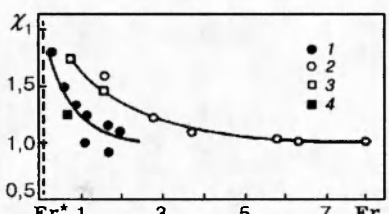


Рис. 5

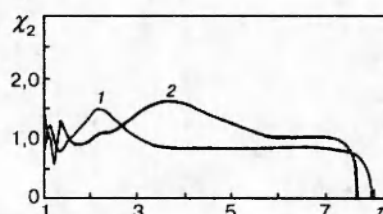


Рис. 6

Рис. 5. Зависимость  $\chi_1(Fr)$ :  
 $[C_3H_8], \%$ : 1 — 3, 2 — 4, 3 — 6, 4 — 9,5 % CH<sub>4</sub> + воздух [16], штриховая линия соответствует критическому значению Fr

Рис. 6. Типичные зависимости  $\chi_2(\pi)$ :  
1 —  $[C_3H_8]=6\%$ ,  $P_i = 0,3 \text{ МПа}$ ,  $V = 3,2 \cdot 10^{-3} \text{ м}^3$ , смещенное зажигание; 2 —  $[C_3H_8] = 3\%$ ,  $P_i = 0,1 \text{ МПа}$ ,  $V = 0,1 \text{ м}^3$ , центральное зажигание

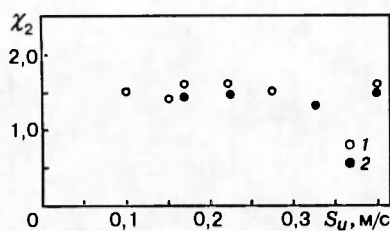


Рис. 7

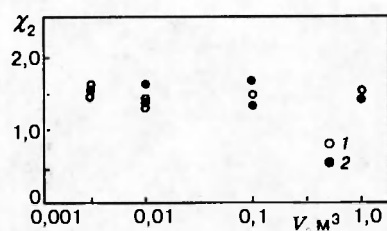


Рис. 8

Рис. 7. Зависимость  $\chi_2(S_u)$ :

$V = 3,2 \cdot 10^{-3}$  (1) и  $0,1 \text{ м}^3$  (2), центральное зажигание

Рис. 8. Зависимость  $\chi_2(V)$  при  $[C_3H_8]=3$  (1) и  $4\%$  (2)

Из использовавшихся конфигураций препятствий наибольшее значение  $\chi_2$  получено при конфигурации А. Конфигурации В и С дают более низкие значения  $\chi_2$  так же, как и смещение точки зажигания (см. табл. 1).

Полученный результат формально можно записать в виде

$$\frac{\pi'_{ro}}{\pi'_{re}} = \frac{\pi'_{r_{lo}}}{\pi'_{me}} = \text{const},$$

и, следовательно, для полного фактора турбулизации

$$\chi = \frac{\pi'_{re}}{\pi'_{me}} \frac{\pi'_{mo}}{\pi'_{me}} = \chi_1 \chi_{2m}.$$

В этом соотношении  $\chi_1$  рассматривается как универсальная функция физико-химических свойств горючей смеси и объема закрытого сосуда, величина  $\chi_{2m}$  — как функция только конфигурации препятствия и определяется она в модельном эксперименте.

В настоящей работе закономерности для  $\chi_1$  и  $\chi_2$  получены в относительно узких диапазонах определяющих параметров. Если эти закономерности подтверждятся в широких диапазонах и будет установлен в будущем общий вид функции  $\chi_1$ , то откроется интересная возможность моделирования крупномасштабных внутренних взрывов с препятствиями на маломасштабных экспериментальных моделях.

### ЗАКЛЮЧИТЕЛЬНЫЕ ЗАМЕЧАНИЯ

Попытки масштабного полуэмпирического моделирования предпринимались давно. Для этих целей, например, использовался «кубический закон» [18]

$$V^{1/3} \left( \frac{dp}{dt} \right)_{\max} = K_g, \quad (5)$$

где  $K_g$  — постоянная величина для данной горючей смеси и параметров состояния,  $V$  — объем сосуда. Определив  $K_g$  для стандартного сосуда, можно затем вычислить максимальную скорость нарастания давления для сосуда любого объема и использовать ее, например, в практических задачах аварийной разгерметизации закрытого технологического оборудования [18].

Для газовых систем формула (5) в настоящее время, по-видимому, не актуальна. Интересующие динамические характеристики могут быть найдены из уравнения (4), записанного для турбулизированной смеси в форме (5):

$$\left[ \frac{R}{\chi S_u p_i} \left( \frac{dp}{dt} \right) \right] = f(\pi, \pi_e, \gamma_u, \gamma_b). \quad (6)$$

Сравнение (5) и (6) показывает, что формула (6) более информативна, поскольку в отличие от (5) учитывает реакционную способность смеси, степень турбулизации смеси, начальное давление и пригодна для любых уровней давления  $\pi$ .

Для турбулизированных смесей надо знать коэффициент  $\chi$ . В случае «вынужденной» изотропной турбулентности можно воспользоваться одной из многочисленных формул для турбулентной скорости распространения пламени. В случае турбулентности, генерированной пламенем, нужны другие подходы учета турбулентности. Имеются попытки учета эффектов автотурбулизации числом Рейнольдса [9], а эффектов турбулизации препятствиями — «блокадным отношением» [19] или коэффициентом сопротивления [20].

В настоящей работе не рассматриваются такие важные в определенных условиях факторы, как теплообмен, сжимаемость газа, гашение пламени на стенке или в объеме и др. Можно ожидать, что межфазный теплообмен будет играть существенную роль в малых сосудах, в несферических сосудах с большим отношением продольных и поперечных размеров и в сосудах с большой загроможденностью, например в сосудах с пористой средой. В медленно горящих смесях и больших сосудах важна, как отмечалось, свободная конвекция, в быстрогорящих смесях — сжимаемость газа. Исследование роли этих факторов — предмет дальнейшего исследования в рамках предлагаемого здесь подхода к масштабному моделированию внутренних газовых взрывов.

## ВЫВОДЫ

Проведены исследования влияния масштаба на горение газовых смесей в закрытых сосудах с препятствиями при пропорциональном изменении размеров сосуда и препятствия.

Предложена процедура раздельного учета эффектов ускорения горения за счет препятствий и за счет автотурбулизации горения.

Обнаружено, что степень ускорения горения за счет автотурбулизации является универсальной функцией объема сосуда и физико-химических характеристик газовой смеси и контролируется числами Фруда и Льюиса.

Показано, что при пропорциональном изменении размеров сосудов и препятствий степень ускорения горения не зависит от масштаба эксперимента, а определяется только формой и расположением препятствий.

Работа выполнена при частичной поддержке Международного научного фонда (грант RBJ300).

## ЛИТЕРАТУРА

1. Hjertager B. H. Influence of turbulence on gas explosions // J. Haz. Mater. 1984. V. 9. P. 315–317.
2. Bradley D., Lau A. K. C. The mathematical modeling of premixed turbulent combustion // Pure Appl. Chem. 1990. V. 62. P. 803–811.

3. Eckhoff R. K. Influence of turbulence on the maximum pressure generated in dust explosions in a vented 500 m silo cell // Arch. Combust. 1985. V. 5, N 1. P. 69–81.
4. Bradley D., Mitcheson A. The venting of gaseous explosions in spherical vessels. I. Theory // Combust. Flame. 1978. V. 32. P. 221–236.
5. Баратов А. Н., Мольков В. В., Агафонов В. В. Закономерности сгорания гомогенных газовых смесей в негерметичных сосудах // Arch. Combust. 1988. V. 8, N 2. С. 179–195.
6. Бабкин В. С., Сеначин П. К., Крахтинова Т. В. Особенности динамики сгорания газа в закрытых сосудах при разных законах изменения поверхности пламени // Физика горения и взрыва. 1982. Т. 18, № 6. С. 14–20.
7. Бабкин В. С., Бабушок В. А., Суюшев В. А. Динамика турбулентного сгорания газа в замкнутом объеме // Физика горения и взрыва. 1977. Т. 13, № 3. С. 354.
8. Yao C. Explosion venting of low-strength equipment and structures // Loss Prevention. 1974. V. 8. P. 1–9.
9. Chippett S. Modeling of vented deflagration // Combust. Flame. 1984. V. 55. P. 127–140.
10. Tufano V., Crescitalli S., Russo G. On the design of venting systems against gaseous explosion // J. Occupational Accidents. 1981. N 3. P. 143–152.
11. Бабкин В. С., Бабушок В. И., Сеначин П. К. Моделирование динамики взрыва газа в закрытых сосудах // Arch. Combust. 1982. V. 2, N 3/4. P. 227–241.
12. Бабкин В. С., Бухаров В. Н., Мольков В. В. Нормальная скорость пламени пропановоздушных смесей при высоких давлениях и температурах // Физика горения и взрыва. 1989. Т. 25, № 1. С. 57–63.
13. Бабкин В. С., Выхристюк А. Я., Кривулин В. Н., Кудрявцев Е. А. Конвективная неустойчивость сферических пламен // Arch. Combust. 1984. V. 4, N 4. P. 322–327.
14. Льюис Б., Эльбе Г. Горение, пламя и взрывы в газах. М.: Мир, 1968.
15. Кузнецов В. Р., Сабельников В. А. Турбулентность и горение. М.: Наука, 1986.
16. Sapko M. Y., Furno A. L., Kuchta Y. M. Flame and pressure development of large-scale CH<sub>4</sub>-air-N<sub>2</sub> explosions // Report N 8176. Washington, US: Bureau of Mines, 1976.
17. Гостинцев Ю. А., Истратов А. Г., Шулягин Ю. В. Автомодельный режим распространения свободного турбулентного пламени в перемешанных газовых смесях // Физика горения и взрыва. 1988. Т. 24, № 5. С. 63–70.
18. Bartknecht W. Explosions. Ablauf und Schutzmaßnahmen. Berlin; Heidelberg; New York: Springer-Verlag, 1980.
19. Moen I. O., Lee J. H. S., Hjertager B. H., Fuhre K., Eckhoff R. K. Pressure development due to turbulent flame propagation in large-scale methane-air explosions // Combust. Flame. 1982. V. 47. P. 31–52.
20. Cates A. T., Bimson S. J. Fuel and obstacle dependence in premixed transient deflagrations // Dynamic Aspects of Explosion Phenomena / A. L. Kuhl, J.-C. Leyer, A. A. Borisov, W. A. Sirigano (Eds). Washington: Amer. Inst. Aeronautics and Astronautics, 1993. P. 51–58.

Поступила в редакцию 29/XI 1995 г.,  
в окончательном варианте — 28/III 1996 г.